

# Trabajo Práctico I

Métodos Numéricos Segundo Cuatrimestre de 2015

Integrante	LU	Correo electrónico
Iván Arcuschin	678/13	iarcuschin@gmail.com
Martín Jedwabny	885/13	martiniedva@gmail.com
José Massigoge	954/12	jmmassigoge@gmail.com
Iván Pondal	???/??	ivan.pondal@gmail.com



Facultad de Ciencias Exactas y Naturales Universidad de Buenos Aires

Ciudad Universitaria - (Pabellón I/Planta Baja) Intendente Güiraldes 2160 - C1428EGA

Ciudad Autónoma de Buenos Aires - Rep. Argentina

Tel/Fax: (54 11) 4576-3359 http://www.fcen.uba.ar

## Índice

1.	Introducción	3
2.	Modelo    2.1. Descripción	
3.	Demostración: Eliminación Gaussiana sin pivoteo	6
4.	Implementación	7
	4.1. Eliminación Gaussiana	7 7
	4.2. Factorización LU	7 7
	4.3. Determinación de la Isoterma	7 7
5.	Experimentación	8
	5.1. Comportamiento del sistema	8 8 8 8 8
6.	Conclusión	9

#### 1. Introducción

El objetivo de este Trabajo Práctico es implmentar diferentes algoritmos de resolución de sistemas de ecuaciones lineales y experimentar con dichas implementaciones en el contexto de un problema de la vida real.

El problema a resolver es hallar la isoterma 500C en la pared de un Alto Horno. Para tal fin, deberemos particionar la pared del horno en puntos finitos, y luego resolver un sistema de ecuaciones lineales, en el cual cada punto de la pared interior y exterior del Horno es un dato, y las ecuaciones para los puntos internos satisfacen la ecuación del calor.

Los experimentos realizados se dividen en dos partes: Comportamiento del sistema y Evaluación de los métodos. En la primera parte, analizaremos con los distintas instancias de prueba y se estudiará la proximidad de la isoterma buscada respecto de la pared exterior del horno. En la segunda parte, analizaremos el tiempo de computo requerido para la resolución del sistema en función de la granularidad de la discretización y analizaremos el escenario en el cual las temperaturas de los bordes varian a lo largo del tiempo.

#### 2. Modelo

#### 2.1. Descripción

El Alto Horno está definido por las siguientes variables:

- El radio de la pared exterior:  $r_e \in \mathbb{R}$
- El radio de la pared interior:  $r_i \in \mathbb{R}$
- La temperatura en cada punto de la pared:  $T(r, \theta)$ , donde  $(r, \theta)$  se encuentra expresado en coordenadas polares, siendo r el radio y  $\theta$  el ángulo polar de dicho punto.

Son datos del problema, las temperaturas de la pared interior y exterior:

- $T(r_i, \theta) = T_i$  para todo punto  $(r, \theta)$  con  $r \le r_i$
- $T(r_e, \theta) = T_e(\theta)$  para todo punto  $(r_e, \theta)$

La Figura 1 muestra las variables al tomar una sección circular del horno.

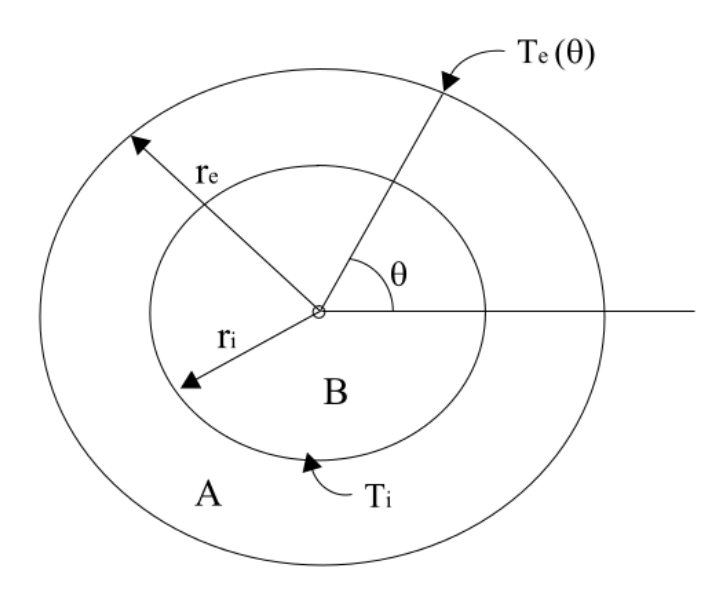


Figura 1: Sección circular del horno

En el estado estacionario, cada punto de la pared satisface la ecuación del calor:

$$\frac{\partial^2 T(r,\theta)}{\partial r^2} + \frac{1}{r} \frac{\partial T(r,\theta)}{\partial r} + \frac{1}{r^2} \frac{\partial^2 T(r,\theta)}{\partial \theta^2} = 0 \tag{1}$$

Para resolver este problema computacionalmente, discretizamos el dominio del problema (el sector A) en coordenadas polares. Consideramos una partición  $0=\theta_0<\theta_1<\ldots<\theta_n=2\pi$  en n ángulos discretos con  $\theta_k-\theta_{k-1}=\Delta\theta$  para  $k=1,\ldots,n$ , y una partición  $r_i=r_0< r_1<\ldots< r_m=r_e$  en m+1 radios discretos con  $r_j-r_{j-1}=\Delta r$  para  $j=1,\ldots,m$ .

El problema ahora consiste en determinar el valor de la función T en los puntos de la discretización  $(r_j, \theta_k)$  que se encuentren dentro del sector A. Llamemos  $t_{jk} = T(r_j, \theta_k)$  al valor (desconocido) de la función T en el punto  $(r_j, \theta_k)$ .

Para encontrar estos valores, transformamos la ecuación (1) en un conjunto de ecuaciones lineales sobre las incógnitas  $t_{jk}$ , evaluando (1) en todos los puntos de la discretización que se encuentren dentro del sector A. Al hacer esta evaluación, aproximamos las derivadas parciales de T en (1) por medio de las siguientes fórmulas de diferencias finitas:

$$\frac{\partial^2 T(r,\theta)}{\partial r^2}(r_j,\theta_k) \cong \frac{t_{j-1,k} - 2t_{jk} + t_{j+1,k}}{(\Delta r)^2} \tag{2}$$

$$\frac{\partial T(r,\theta)}{\partial r}(r_j,\theta_k) \cong \frac{t_{j,k} - t_{j-1,k}}{\Delta r} \tag{3}$$

$$\frac{\partial^2 T(r,\theta)}{\partial \theta^2}(r_j,\theta_k) \cong \frac{t_{j,k-1} - 2t_{jk} + t_{j,k+1}}{(\Delta \theta)^2} \tag{4}$$

### 2.2. Representación del sistema

Para representar el sistema de ecuaciones presentado, se utilizará una matriz simple, implementada como un vector de vectores. A continuación, se muestra como quedaría la matriz para las ecuaciones de los puntos  $t_{0,0}, t_{0,n-1}, t_{i,j}, t_{m,0}$  y  $t_{m,n-1}$ .

	$t_{0,0}$ $t_0$	0, n-1	$\dots$ $t$	i-1,j	$\dots t$	i, j-1	$\boldsymbol{t_{i,j}}$	$t_{i,j+1}$	t	i+1, j	1	$t_{m,0}$	t	m, n-1	b
$t_{0,0}$	Γ 1	0		0		0	0	0		0		0		0	$t_{0,0}$
÷	:	:		:		:	÷	:		:		:		:	
$t_{0,n-1}$	0	1		0		0	0	0		0		0		0	$t_{0,n-1}$
:	:	:		:		:	:	:		:		:		÷	
$t_{i,j}$	0	0	<i>β</i>	_ ^	γ	$\alpha$	$-2\alpha-2\beta+\gamma$	$\alpha$		$\boldsymbol{\beta}$		0		0	0
:	:	:		:		:	:	:		:		:		÷	
$t_{m,0}$	0	0		0		0	0	0		0		1		0	$t_{m,0}$
÷	:	:		:		:	:	:		:		:		:	
$t_{m,n-1}$	0	0		0		0	0	0		0		0		1	$t_{m,n-1}$

Donde,

- $\quad \bullet \quad \alpha = \frac{1}{(\Delta \theta)^2 * r^2}$
- $\beta = \frac{1}{(\Delta \ r)^2}$
- $\quad \quad \gamma = \frac{1}{(\Delta \ r) * r}$
- 0 < i < n
- 0 < j < m + 1

Notese que la ecuación del punto  $t_{i,j}$  tiene ceros en todas sus celdas, excepto en las corresponiendentes a  $t_{i-1,j}$ ,  $t_{i,j}$ ,  $t_{i+1j0}$ ,  $t_{i,j-1}$  y  $t_{i,j+1}$ . Se puede ver que para cada fila de la matriz, hay una "banda" de tamaño 2n alrededor de la diagonal donde hay 5 elementos que no son cero.

## 3. Demostración: Eliminación Gaussiana sin pivoteo

**Lema 3.1.** Sea  $A \in \mathbb{R}^{n \times n}$  la matriz obtenida para el sistema definido por las ecuaciones del Modelo. Demostrar que es posible aplicar Eliminación Gaussiana sin pivoteo.

Demostración. Sugerencia: Notar que la matriz es diagonal dominante (no estrictamente) y analizar qué sucede al aplicar un paso de Eliminación Gaussiana con los elementos de una fila. □

## 4. Implementación

#### 4.1. Eliminación Gaussiana

- 4.1.1. Descripción del método
- 4.2. Factorización LU
- 4.2.1. Descripción del método

#### 4.3. Determinación de la Isoterma

Dada la solucion del sistema de ecuaciones, proponer una forma de estimar en cada ángulo de la discretización la posición de la isoterma 500.

## 4.4. Evaluación del peligro de la estructura

En función de la aproximación de la isoterma, proponer una forma (o medida) a utilizar para evaluar la peligrosidad de la estructura en función de la distancia a la pared externa del horno.

## 5. Experimentación

- 5.1. Comportamiento del sistema
- 5.1.1. Distintas discretizaciones
- 5.1.2. Proximidad de la isoterma
- 5.2. Evaluación de los métodos
- 5.2.1. Tiempo de cómputo
- 5.2.2. Variación a lo largo del tiempo

## 6. Conclusión